

## مقایسه تجربی انتقال حرارت نانوسيال‌های آبی تیتانیا و آلومینا در شرایط شار حرارتی غیریکنواخت

منصور طالبی، یاسر عباسی، جمشید خورسندي

پژوهشگاه علوم و فنون هسته ای، [mstalebi@aeoi.org.ir](mailto:mstalebi@aeoi.org.ir)

حرارت در این سیستم با استفاده از نانوسيال‌ها موضوعی بسیار مهم می‌باشد. افزایش برداشت انرژی در این سیستم ها مهندسین را قادر می‌سازد تا سیستم‌هایی کاراتر و حتی کوچکتری تولید کنند. نانوسيال‌ها محیط‌های جدید انتقال حرارت هستند که توسط پخش کردن نانوذرات با اندازه کوچکتر از ۱۰۰ نانومتر درون محیط‌های انتقال حرارت مرسوم نظیر آب، روغن، اتیلن گلیکول و ... بوجود می‌آیند. عبارت نانوسيال به این محیط‌های انتقال حرارت اولین بار توسط چوی [۱] در سال ۱۹۹۵ استفاده شد. طی دو دهه نانوسيال‌ها بدليل خواص برتر حرارتی کاربردهای بالقوه صنعتی موضوع بسیاری از تحقیقات پژوهشگران انتقال حرارت بوده اند.

بسیاری از پژوهشگران از روابط شناخته شده برای پیش‌بینی خواص ترموفیزیکی نانوسيال‌ها استفاده کرده‌اند و عده‌ای دیگر این خواص را از طریق آزمایش و تجربه اندازه گیری نموده‌اند. مطالعات هم به صورت تئوری و هم به صورت تجربی انجام شده است. پژوهش‌هایی به عنوان نمونه که کاربرد نانوسيال‌ها را در انتقال حرارت نشان می‌دهند در ادامه ارائه شده است.

ون و دینگ [۲] ضریب انتقال حرارت همرفتی نانوسيال آبی  $\text{Al}_2\text{O}_3$ -DI را برای جریان درون یک میله ساخته شده از مس و در جریان آرام به صورت تجربی اندازه گیری کردند. نتایج آن‌ها نشان می‌دهد که ضریب انتقال حرارت در این لوله با افزایش غلظت نانوذرات افزایش می‌یابد. همچنین افزایش رینولدز باعث افزایش ضریب انتقال حرارت می‌گردد.

هی و همکاران [۳] به صورت تجربی رفتار انتقال حرارتی و خواص افت فشار نانوسيال آبی  $\text{TiO}_2$ -DI جاری در یک میله عمودی در جریان به سمت بالا در هردو رژیم آرام و مغشوش مورد مطالعه و بررسی قرار دادند. نتایج آزمایش آن‌ها نشان می‌دهد که ضریب انتقال حرارت موضعی برای هردو رژیم جریان آرام و مغشوش با افزایش غلظت نانوسيال در یک رینولدز مشخص افزایش می‌یابد. همچنین نتایج این دانشمندان نشان می‌دهد که میزان افت فشار ایجاد شده در جریان نانوسيالا به میزان افت فشار ایجاد شده توسط آب در هندسه بسیار نزدیک است.

پاک و چو [۴] به صورت تجربی کارایی حرارتی نانوسيال‌های آبی تیتانیا و آلومینا را در جریان درون یک لوله دایروی افقی تحت رژیم جریان مغشوش مورد بررسی قرار دادند. آنها در این مطالعه تجربی از نتایج آزمایشگاهی ماسودا [۵] برای بدست آوردن

### چکیده

برای مقایسه تجربی تاثیر نانوسيال‌های مختلف بر روی انتقال حرارت جریان درون یک مجرای حلقوی در شرایط شار حرارتی غیریکنواخت، در این پژوهش، با استفاده از یک لوب تحت فشار ترمohیدرولیکی آزمایش‌هایی صورت پذیرفته است. نانوذرات آلومینا و تیتانیا به آب دوبار یونیزه شده افزوده شدند تا نانوسيال‌های مربوطه تولید گردند. آزمایش‌ها برای هر دو رژیم جریان آرام و مغشوش انجام شدند. محفظه آزمایش عبارت است از یک مجرای حلقوی که شار حرارتی کسینوسی از طریق المان الکترونیکی خاص به میله داخلی آن اعمال می‌گردد. دمای دیواره درونی حلقوی با استفاده از ۲۲ دماسنج نوع  $k$  اندازه گیری می‌گردد. نتایج نشان می‌دهد که در غلظت‌های پایین هر دو نانوسيال تاثیر چندانی بر روی انتقال حرارت ندارند ولی با افزایش غلظت انتقال حرارت به صورت قابل توجهی افزایش می‌یابد. این بهبود انتقال حرارت توسط نانوسيال تیتانیا شدیدتر از نانوسيال آبی آلومینا می‌باشد.

### واژه‌های کلیدی

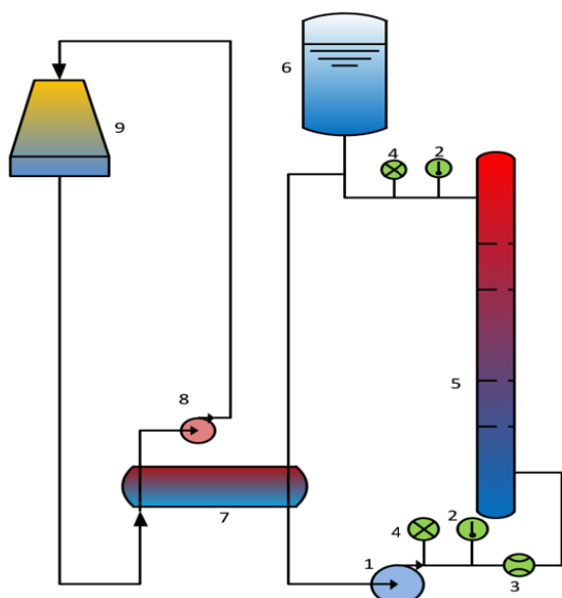
انتقال حرارت ، نانوسيال‌های آبی تیتانیا و آلومینا، شار حرارت کسینوسی، لوب تحت فشار.

### مقدمه

برای کوچک کردن و افزایش سرعت کار سیستم‌های صنعتی نیاز به شرایط جدید در خنک‌سازی و کارایی بهتر ضروری می‌باشد. رسانندگی حرارتی پایین سیال‌هایی چون آب مانع جدی برای بهبود کارایی و کوچک کردن تجهیزات مهندسی می‌باشد. کنترل انتقال حرارت در بسیاری از سیستم‌های انرژی بسیار حیاتی است زیرا باعث افزایش قیمت انرژی می‌گردد. در سالهای اخیر، فناوری نانوسيال‌ها توسط محققین بسیاری معرفی و جهت بررسی انتقال حرارت در تجهیزات مهندسی به صورت تجربی و تئوری مورد مطالعه قرار گرفته است. نانوسيال‌ها در مسائل مهندسی زیادی از قبیل مبدل‌های حرارتی، خنک‌سازی تجهیزات الکترونیکی و خنک‌سازی تجهیزات مربوط به فرآیندهای شیمیایی بکار رفته اند. برخی از این تجهیزات از یک مجرای حلقوی تشکیل شده اند که حرارت را از یک میله داغ به سیال خنک کننده اطراف آن انتقال می‌دهد. بهبود انتقال

است. این سیستم به صورت کلی از دو لوپ اولیه و ثانویه ساخته شده است. لوپ اولیه شامل محفظه آزمایش، محفظه فشار (فشارنده) که علاوه بر نگهداری نانوسيال وظیفه اعمال فشار بر سیستم را دارد، پمپ دور متغیر و یک مبدل حرارتی می‌باشد. لوپ ثانویه شامل مبدل حرارتی، پمپ و یک برج خنک کن می‌باشد.

محفظه آزمایش حلقوی به طول  $1/5$  متر است که شار حرارتی به میله داخلی آن از طریق یک المان الکتروبیکی مارپیچی با گام متغیر جهت تولید شار کیسنوسی اعمال می‌گردد. حلقوی از فولاد ضد زنگ به قطر داخلی  $33$  میلیمتر قطر خارجی  $55$  میلیمتر ساخته شده است. محفوظه از مایش از نظر حرارتی عایق است تا ازت حرارت در امتداد محور آن جلوگیری شود. در هنگان انجام تست‌ها، دمای دیواره داخلی محفوظه آزمایش و دبی جریان اندازه‌گیری و ثبت می‌شود.



شکل ۱: شماتیک تجهیزات آزمایشگاه

جدول ۱: تجهیزات موجود در لوپ تحت فشار

ردیف	وسیله	لوپ اولیه	لوپ ثانویه
۱	پمپ دور متغیر	*	
۲	دماسنجد	*	
۳	دبی سنج	*	
۴	فشار سنج	*	
۵	محفظه آزمایش	*	
۶	فشارنده	*	
۷	مبدل حرارتی	*	*
۸	پمپ		
۹	برج خنک کن		*

رسانندگی حرارتی نانوسيال‌ها استفاده کردن و با استفاده از لرجت سنج ویسکوزیته نانوسيال‌ها را اندازه‌گیری نموده‌اند. نتایج آن‌ها نشان می‌دهد که عدد ناسلت مربوط به جریان نانوسيال‌ها با افزایش عدد رینولز و همچنین غلظت نانوذرات افزایش می‌یابد.

دونگ تونگ سوک و وانگوایسز [۶] به صورت تجربی انتقال حرارت و افت فشار نانوسيال آبی تیتانیا را در جریان درون یک مبدل حرارتی موربررسی قرار دادند. نتایج آن‌ها نشان داده است که ضریب انتقال حرارت نانوسل با غلظت حجمی  $0.02\%$  به میزان نزدیک به  $6$  الی  $11$  درصد بیشتر از آب خالص است. به هر حال نتایج همچنین نشان داده اند که استفاده از نانوسيال‌ها افزایش کمی در افت فشار ایجاد می‌کند.

فیلیپ و شیما [۷] مروری بر پیشرفت‌های ایجاد شده اخیر در زمینه نانوسيال‌ها ارائه کردن. تمرکز آن‌ها بر روی خواص مهم نانوذرات که خواص حرارتی نانوسيال را تغییر میدهد می‌باشد. آنها همچنین راههای جدیدی برای رسیدن به بالاترین رسانندگی نانوسيال‌ها معرفی نمودند.

در کار حاضر سعی بر آن شده است که اثر دو نانوسيال مختلف بر روی انتقال حرارت درون یک مجرای حلقوی با شار حرارتی غیر یکنواخت به صورت تجربی مطالعه شود. در آزمایش‌های اشاره شده، نانوذرات  $\text{Al}_2\text{O}_3$  و  $\text{TiO}_2$  به آب دوبار یونیزه شده افزوده و بترتیب نانوسيال‌های آبی تیتانیا و آلومینا با غلظت‌های حجمی مورد نظر تولید می‌گردد. بدلیل مقیاس بزرگ محفوظه آزمایش و تجهیزات لوپ مربوطه تنها غلظت‌های حجمی کوچک تولید و آزمایش شده‌اند. محفوظه آزمایش حلقوی است که شار حرارتی کیسنوسی از طریق المان الکتروبیکی مارپیچ به میله داخلی آن اعمال می‌گردد. دمای دیواره درونی حلقوی با استفاده از  $22$  دماسنجد نوع  $k$  اندازه‌گیری می‌گردد.

### تولید نانوسيال

در این آزمایش، نانوسيال‌ها به روش دو مرحله‌ای تولید شده‌اند. برای تولید نانوسيال‌ها نانوذرات  $\text{Al}_2\text{O}_3$  با قطر متوسط  $25$  نانومتر و نانوذرات  $\text{TiO}_2$  با قطر متوسط  $10$  نانومتر به صورت جداگانه در  $40$  لیتر آب دوبار یونیزه شده پخش شدند. نانوسيال‌های تولید شده به مدت چهار ساعت در دستگاه التراسونیک قرار داده شده اند تا از کلوجه شدن نانوذرات جلوگیری شود. بیشترین غلظت حجمی تولید شده برای هر نانوسيال  $1/5\%$  وزنی بوده است. برای تولید دیگر غلظت‌های موجود در آزمایش‌ها، رقیق سازی با افزودن آب دوبار یونیزه شده انجام شده است. غلظت‌های تولید شده در این مطالعه برابر  $0.25\%$ ،  $0.5\%$ ،  $1\%$  و  $1.5\%$  (درصد وزنی) می‌باشند. یک میکروسکوپ الکترونیکی (TEM) برای تقریب اندازه نانوذرات بکار رفته است.

### تجهیزات آزمایشگاه

دستگاه آزمایش بکار رفته در این مطالعه به صورت شماتیک در شکل ۱ نشان داده شده است. نام تجهیزات مختلف در جدول ۱ ارائه شده

حرارت در یک متر مرکزی از قسمت مسانی حلقوی تولید می-گردد. برای تولید شار حرارت کسینوسی از یک المان حرارتی که به صورت مارپیچ با طول گام متغیر درون حلقوی قرار گرفته است استفاده شده است. گام در مرکز میله در کمترین حالت می‌باشد و با فاصله گرفتن از مرکز میله به سمت بالا و پایین گام این مارپیچ زیاد می‌گردد. اگر گرمای ایجاد شده در هر گام از مارپیچ بر مساحت پوشش داده شده تقسیم گردد، پروفایل حقیقی شار حرارتی که بسیار شبیه پروفایل کسینوسی است بدست می‌آید. ۲۲ ترمومکوپل نوع k وظیفه خواندن داده‌ها را بر عهده دارد. شماتیک محفظه آزمایش و نحوه قرار گرفتن ترمومکوپل‌ها در شکل ۲ آورده شده است. ترمومکوپل‌ها با فاصله مساوی ۱۰ سانتیمتر از یکدیگر در یک متر مرکزی حلقوی قرار گرفته‌اند. برای دقت بیشتر در هر ارتفاع از دو ترمومکوپل استفاده شده است. ضریب انتقال حرارت توسط معادله ۵ محاسبه می‌گردد.

$$h = \frac{1}{l} \sum_{i=1}^n (h(i) \Delta y) \quad (5)$$

مقادیر عدم قطعیت‌ها با استفاده از رابطه ۶ محاسبه شده است.

$$\frac{\delta(h)}{h} = \left[ \left( \frac{\partial(P)}{P} \right)^2 + \left( \frac{\partial(\Delta T)}{\Delta T} \right)^2 + \left( \frac{\partial(\Delta y)}{\Delta y} \right)^2 \right]^{1/2} \quad (6)$$

مقادیر عدم قطعیت‌ها با توجه به خطای دستگاه‌های اندازه‌گیری محاسبه شده است. بیشینه مقدار عدم قطعیت در مقادیر ضریب انتقال حرارت متوسط برای عدددهای رینولدز مختلف برابر ۴/۹٪ محسوبه شده است.

## نتایج

در این قسمت با توجه به رابطه‌های ارائه شده در بخش قبل و با استفاده از دمایا و دبی‌های اندازه‌گیری شده پارامترهای انتقال حرارتی محاسبه و نتایج ارائه می‌گردد. جهت مشاهده روند تغییرات داده‌های آزمایشگاهی از برازش درجه سه استفاده شده است. پارامترهایی که در این مقاله گزارش می‌شوند عبارتند از: دمای میله داخلی و ضریب انتقال حرارت.

داده‌های آزمایشگاهی به صورت مستقیم دمای دیواره داخلی را نشان می‌دهند. دمای خنک کننده در نزدیکی دیواره داخلی برای رینولدزهای  $Re=1400$  و  $Re=4200$  به ترتیب در شکل‌های (۳) و (۴) نشان داده شده است. با افزایش غلظت نانوذرات دمای دیواره داخلی کاهش می‌یابد. دلیل این امر رسانندگی حرارتی بالاتر نانوسيال‌ها نسبت به آب خالص می‌باشد. با افزودن نانوذرات به آب خالص، رسانندگی حرارتی سیال تولید شده و همچنین اغتشاشات جریان افزایش می‌یابد و در نتیجه برداشت گرما بهتر صورت می-پذیرد. غلظت نانوذرات تاثیر چندانی بر روی شکل پروفایل دمای دیواره ندارد و در عدد رینولدز ۴۲۰۰ برای هردو نانوسيال تیتانیا و آلومنیا نقطه پیک حرارتی در ارتفاع  $y/L=0.6$  اتفاق می‌افتد. با توجه

## تولید نانوسيال

برای بدست آوردن پارامترهای انتقال حرارتی، خواص نانوسيال از قبیل چگالی، گرمای ویژه، لزجت و رسانندگی حرارتی نانوسيال‌ها یا باید اندازه‌گیری شود و یا باید توسط روابط نیمه تجربی موجود محاسبه شود. در این مقاله از روابط نیمه تجربی [۸] استفاده می‌گردد.

$$\rho_{nf} = (1 - \phi)\rho_{bf} + (\phi)\rho_{np} \quad (1)$$

$$(C_p)_{nf} = \frac{(1-\phi)(\rho_{bf} C_{p,bf}) + (\phi)(\rho_{np} C_{p,np})}{(1-\phi)\rho_{bf} + (\phi)\rho_{np}} \quad (2)$$

$$\mu_{nf} = \frac{1}{(1-\phi)^{2.5}} \mu_{bf} \quad (3)$$

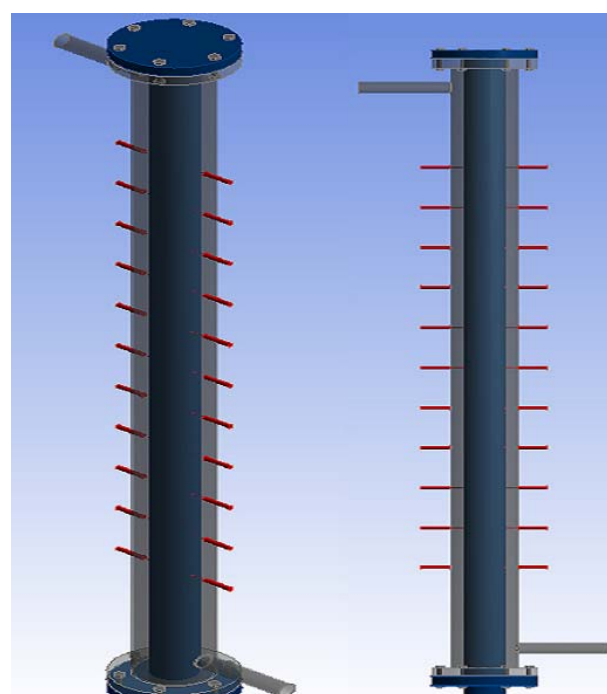
$$k_{nf} = k_{bf} \left[ 1 + 64.7\phi^{0.746} \left( \frac{d_{bf}}{d_{np}} \right)^{0.369} \times \left( \frac{k_{np}}{k_{bf}} \right)^{0.7476} Pr^{0.9955} Re^{1.2321} \right] \quad (4)$$

جدول ۲ خواص نانوذرات را که برای استفاده از روابط ۱ تا ۴ مورد نیاز می‌باشند را ارائه کرده است.

جدول ۲: خواص نانوذرات

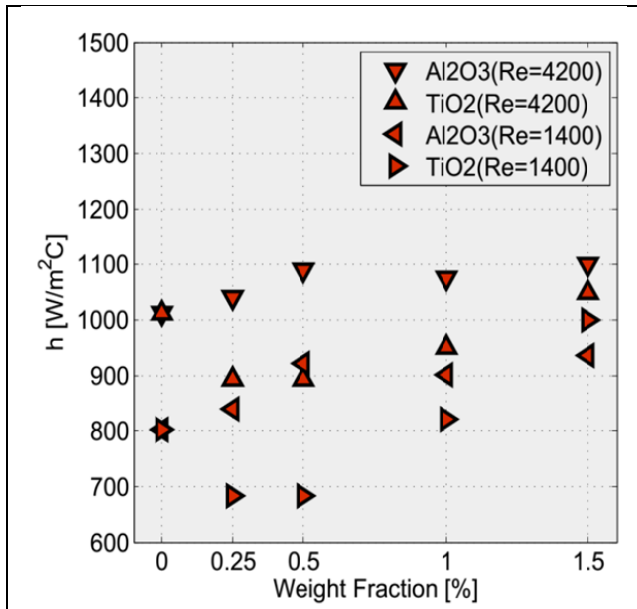
ردیف	نانوذره	چگالی ( $\rho$ )	گرمای ویژه ( $C_p$ )	رسانندگی ( $k$ )
۱	تیتانیا	۴۲۶۰	۶۸۰	۱۲
۲	آلومینا	۳۹۵۰	۹۳۰	۴۰

محفظه آزمایش به صورتی طراحی شده است که شار حرارتی ایجاد شده در میله داخلی آن به تقریباً کسینوسی باشد. توان کلی اعمال شده برابر یک کیلووات می‌باشد. در این مطالعه فرض شده است که تولید حرارت به صرت کاملاً کسینوسی و با نقطه پیک شار حرارتی در مرکز میله می‌باشد.



شکل ۲: نحوه قرار گیری ترمومکوپل‌ها

نظیر ضریب انتقال حرارت تغییر چندانی داشته باشد. مورد دیگری که مشاهده می شود این است که با افزایش غلظت نانوپارچه های  $1/5$  تقریباً ضریب انتقال حرارت برای هردو نانوپارچه های تغییر می کند. میزان این تغییرات به عدد رینولدز و نوع نانوذرات استفاده شده در تولید نانوپارچه های آبی آلمینا بهتر صورت می گیرد و آزمایش ها ضریب انتقال حرارت بزرگتری را نشان می دهند. از طرف دیگر تغییرات ضریب انتقال حرارت ناشی از افزایش غلظت نانوذرات برای نانوپارچه های تیتانیا بیشتر است.



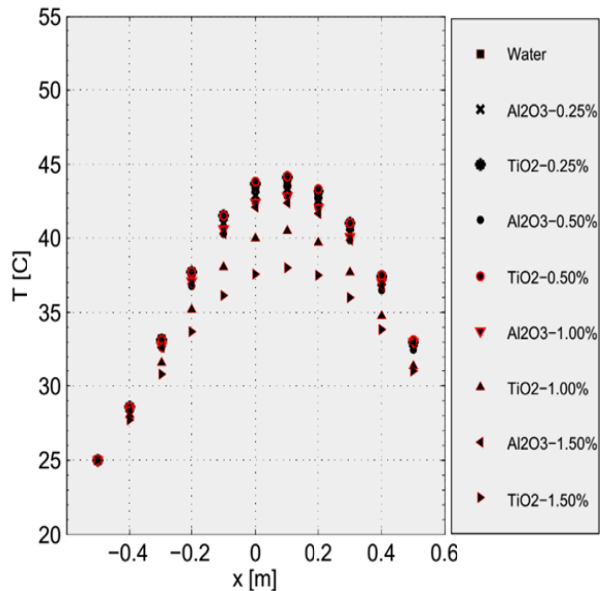
شکل ۵: ضریب انتقال حرارت متوسط بر حسب غلظت نانوذرات

#### نتیجه گیری

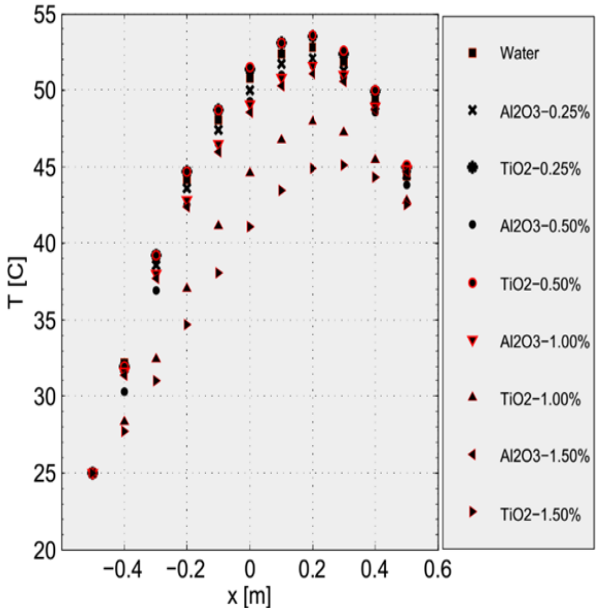
نانوپارچه های مخلوطی ابداعی از نانوذرات با کاربرد بالقوه بسیار وسیع می باشند. این مطالعه بر روی مقایسه تاثیرات نانوپارچه های آبی تیتانیا و آلمینا بر روی انتقال حرارت درون یک مجرای حلقوی عمودی با شار حرارتی غیر یکنواخت متتمرکز می باشد. آزمایش های انجام شده نتایج زیر را در بر داشت:

برای غلظت های پایین نانوذرات در سیال پایه (کمتر از  $0/5$  درصد وزنی) تغییر چندانی در دمای دیواره و ضریب انتقال حرارت مشاهده نشده است. این امر مهندسان را قادر می سازد تا از دیگر خواص نانوپارچه های نظری افزایش ترکنندگی و همچنین افزایش شار حرارت بحرانی بدون تغییر در طراحی سیستم استفاده کنند. با افزایش غلظت، دمای دیواره داخلی مجرای حلقوی کاهش می یابد و در نتیجه ضریب انتقال حرارت بیشتر می شود. این امر برای هر دو مورد نانوذرات اتفاق می افتد. ولی کارایی نانوذرات آلمینا در این زمینه بهتر می باشد. نوع رژیم جریان نیز بر روی این کاهش دمای دیواره و نحوه تغییرات آن بسیار موثر است.

به شکل ۴ مشهود است که در رینولدز های پایین تر ارتفاع نقطه پیک حرارتی افزایش می یابد. برای رینولدز های پایین تر نقطه پیک حرارتی در نزدیکی انتهای بخش انتقال حرارت حلقوی رخ میدهد و با افزایش عدد رینولدز این ارتفاع به سمت مرکز حلقوی متمایل می گردد.



شکل ۳: دمای دیواره برای رینولدز ۴۲۰۰



شکل ۴: دمای دیواره برای رینولدز ۱۴۰۰

ضریب انتقال حرارت محاسبه شده در این آزمایش در شکل ۵ نشان داده شده است. مشاهده می گردد که غلظت پایین نانوذرات تاثیر چندانی بر روی ضریب انتقال حرارت متوسط برای هردو نانوذرات تیتانیا و آلمینا ندارد. این واقعیت مهندسان را قادر می سازد تا با استفاده از غلظت کم نانوذرات از دیگر خواص نانوپارچه های نظری شار حرارت بحرانی استفاده کنند بدون اینکه پارامترهای انتقال حرارت

## مراجع

- metallic oxide particles, Experimental Heat Transfer 11 (1998) 151–170.
- [5] H. Masuda, A. Ebata, K. Teramae, N. Hishinuma, Alteration of thermal conductivity and viscosity of liquid by dispersing ultra-fine particles (dispersion of Al<sub>2</sub>O<sub>3</sub>, SiO<sub>2</sub>and TiO<sub>2</sub>ultra-fine particles), NetsuBussei (Japan) 7 (4) (1993) 227–233.
- [6] W. Duangthongsuk, S. Wongwises, Heat transfer enhancement and pressure drop characteristics of TiO<sub>2</sub>-water nanofluid in a double-tube counter flow heat exchanger, International Journal of Heat Mass Transfer 52 (2009) 2059–2067.
- [7] J. Philip, P.D. Shima, Thermal properties of nanofluids, Advances in Colloid and Interface Science 183–184 (2012) 30–45.
- [8] Wang, X.-Q. and A.S. Mujumdar, Heat transfer characteristics of nanofluids: a review. International Journal of Thermal Sciences, 2007. 46(1): p. 1-19.
- [1] S.U.S. Choi, Enhancing thermal conductivity of fluids with nanoparticle, ASME Fluids Engineering Division (FED) 231 (1995) 99-105.
- [2] D. Wen, Y. Ding, Experimental investigation into convective heat transfer of nanofluids at the entrance region under laminar flow conditions, International Journal of Heat Mass Transfer 47 (2004) 5181–5188.
- [3] Y. He, Y. Jin, H. Chen, Y. Ding, D. Cang, H. Lu, Heat transfer and flow behavior of aqueous suspensions of TiO<sub>2</sub> nanoparticles (nanofluids) flowing upward through a vertical pipe, International Journal Heat Mass Transfer 50 (2007) 2272–2281.
- [4] B.C. Pak, Y.I. Cho, Hydrodynamic and heat transfer study of dispersed fluids with submicron

↑ تا حد امکان دو ستون موجود در صفحه آخر را تراز کنید.